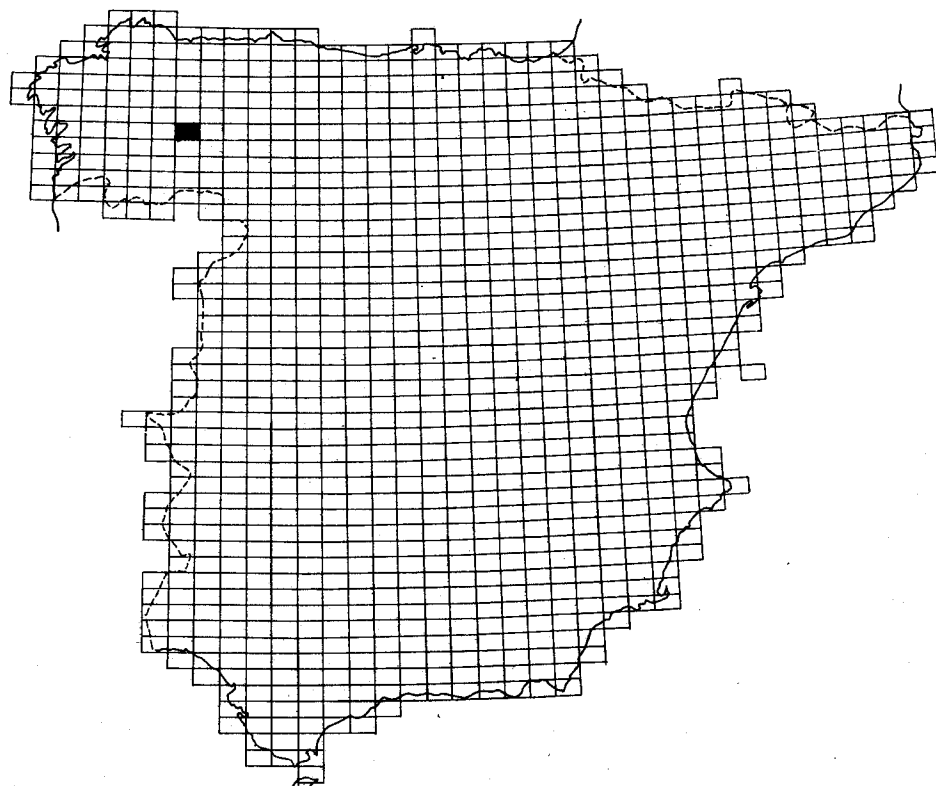


GEOTEHIC S.A.
INGENIEROS CONSULTORES

20157

MAPA GEOLOGICO NACIONAL

Escala 1:50.000
MAGNA



OENCIA 09-09 (257)
DOCUMENTACION COMPLEMENTARIA
• Fotografías

GEOTEHIC, S.A.
Ingenieros Consultores

Referencia
MAGNA

20157

MAPA GEOLOGICO NACIONAL

E: 1: 50.000

HOJA 10-10 (191) SILVAN

DOCUMENTACION COMPLEMENTARIA

FOTOGRAFIAS



Cambro-Ordovicico y Ashgill de Folgoso-Seoane. E

Detalle de la Cuarcita Armoricana. Estación 11 (B58H).



Panorámica del Siluriano de La Seara. Estación 162 (B60H).



Panorámica de la Series Ordovícica y Silurica al W de For
migoso. Estación 164 (B60H).





Capa caliza con orthoceras dentro de los esquistos con cloritoide silúricos. Estación 166 (B60H).



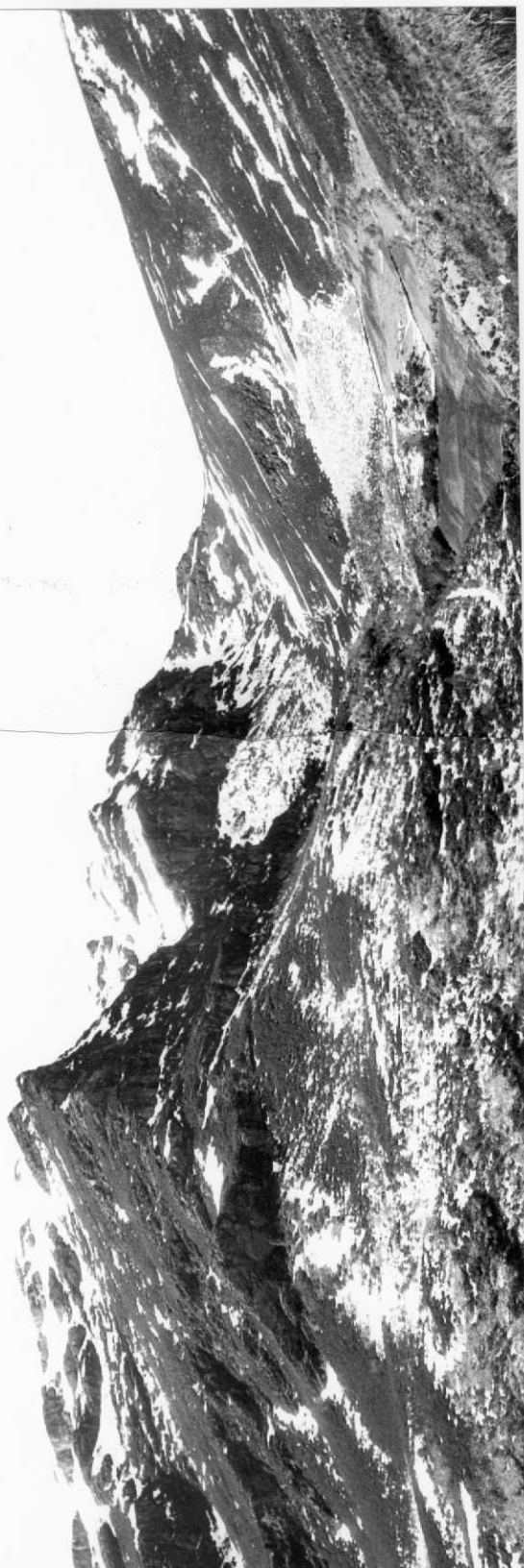
Ofitas encajadas en la serie Ordovicico-Silúrico. Estación 168 (B60H).



Panorámica de la Serie Siluriana, y el hard-ground al Norte de Vieiros. Estación 176 (B60H).

Panorámica de la Serie Siluriana al
N. de Ferramulín. Estación 176
(B60H).

2015





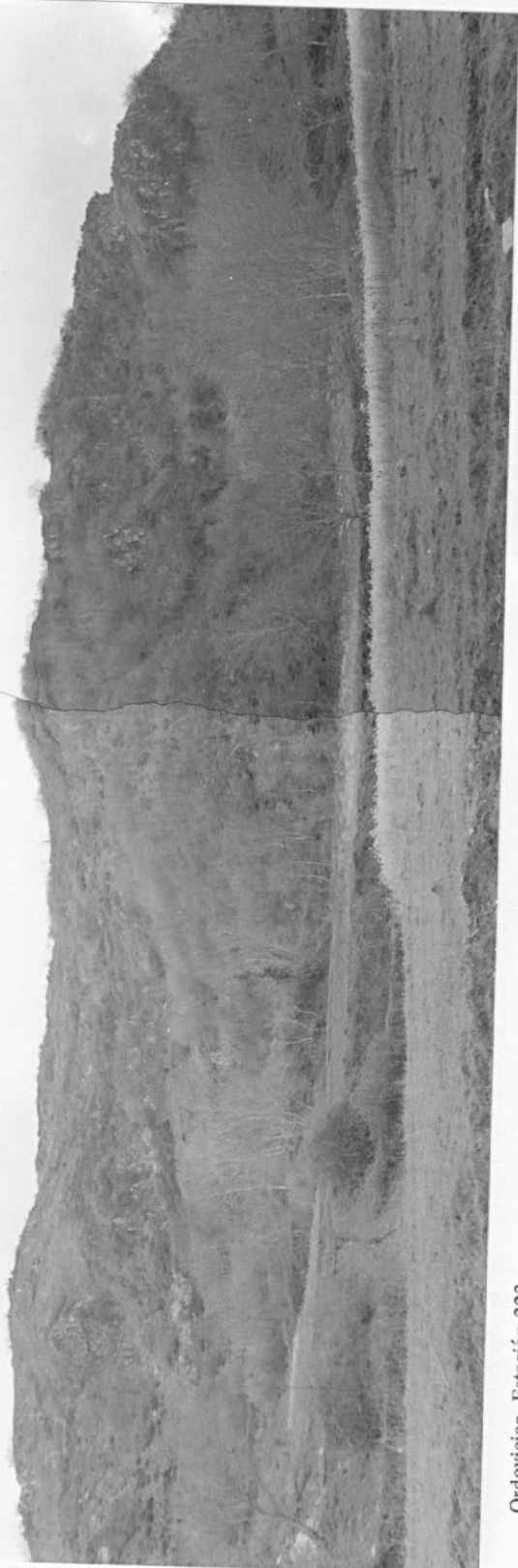
Hard-ground infrasiluriano. Estación 178 (B60H).

Hard-ground infrasiluriano, hacia el NE. Estación 178. (B60H).





Panorámica de los esquistos precámbricos de Seo. Estación 184 (B60 H).



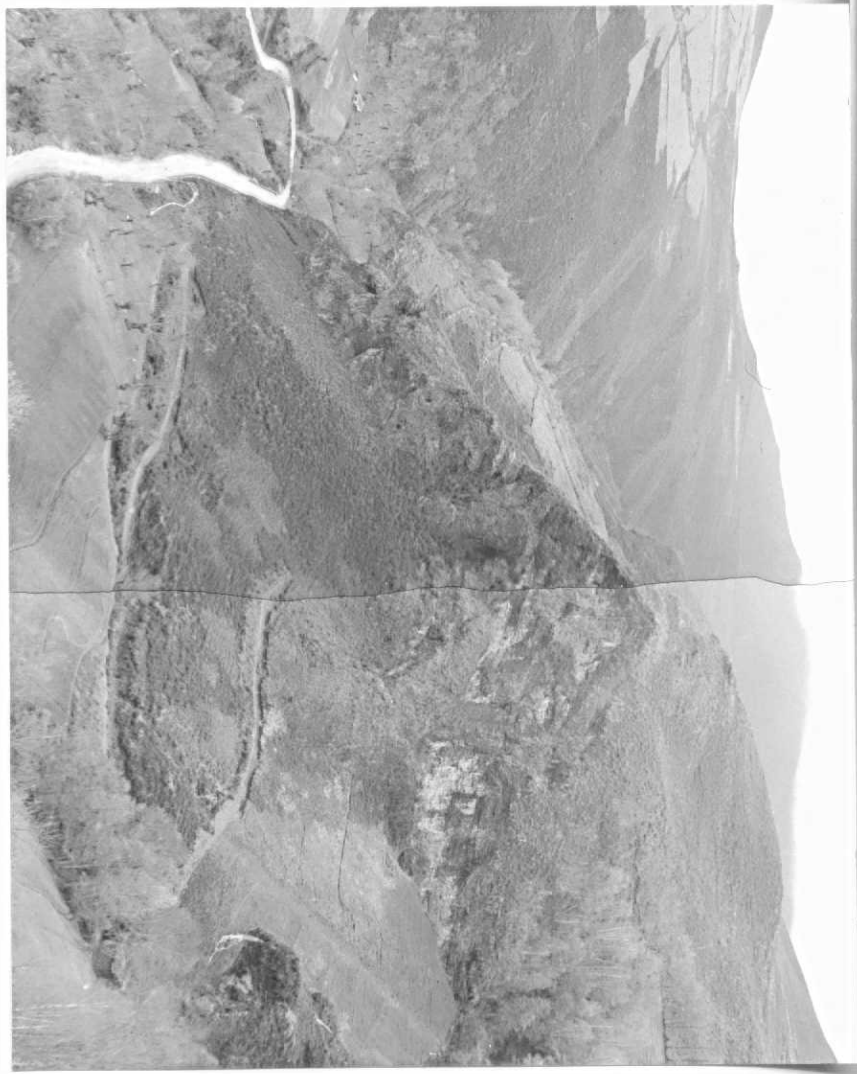
Ordovicico. Estación 223.

57

Ordovicico. Estación 223 (B61H).



Silúrico del sinclinal de Folgoso. Estación 225. (B61H).



Sinclinal tumbado en el Siluriano de Folgoso. Estación 227 (B61H).





Sinclinal tumbado en el Siluriano de Folgoso. Estación 227 (B61H).



Cambro-Ordovicico y Ashgill de Folgoso-Seoane. Estación 235 (B61H).



Serie Silúrica en el alto de Mercurin. Estación 239 (B61H).



Serie Cambro-Ordovicica de Ferreiros de Arriba. Estación 239 (B61H).



Cuarcitas y esquistos silúricos. Estación 257 (B61H).



Caliza del Ashigill replegado por F2. Estación 259 (B61H).



Serie Cámbrica de Seoane–Mirad. Estación 262 (B62H).

Panorámica del Cámbrico desde el Alto de Millares-Mestad. Estación 268 (B62H).





Cábrico de Millares. Estación 269 (B62H).

Panorámica del Ordovicico-Silúrico desde Hórreos. Estación 271 (B62H)

201





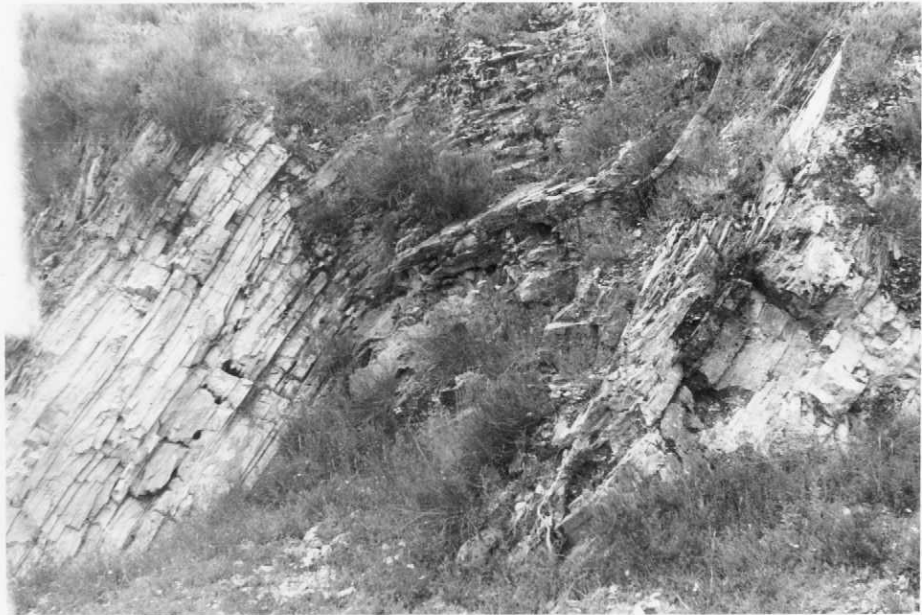
Cámbrico y Precámbrico de Barrosas. Estación 272 (B62H)

Panorámica del Cámbrico de Albaredos. Estación 278 (B62H).





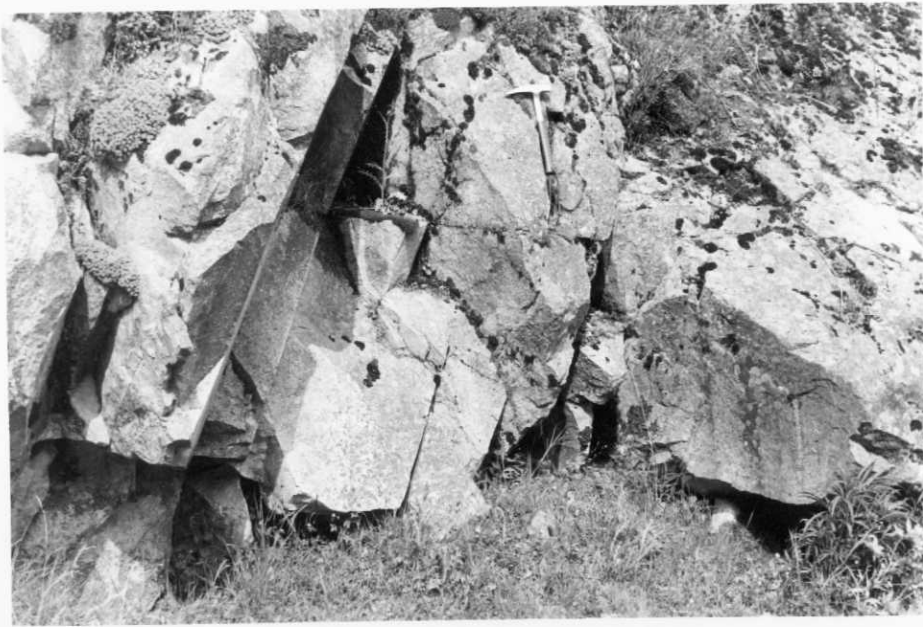
Alto de Abatedos-Hórreos. Panorámica hacia el E. Estación 288 (B62H).



Caliza de Cándana. Pliegues de F1 Estación 312 (B63H)



Caliza de Cándana Pliegues de F1. Estación 312 (B63H).



Pórfido granítico. Estación 320 (B63H).



Microgranito de Seo. Estación 323 (B63H).

2015

Repliegues de F1. Simétricos de plano axial vertical. Estación 335 (B63H).





Panorámica desde el Alto de Visuña series precámbrica y cámbrica. Estación 346 (B63H).



Cuarcita de la Serie Precámbrica. Estación 357 (B63H).

Panorámica desde el Alto de Visuña, hacia el E. Estación 359 (B63H).





Panorámica desde el Alto de Visuña, hacia el SW. Estación 359 (B63H).

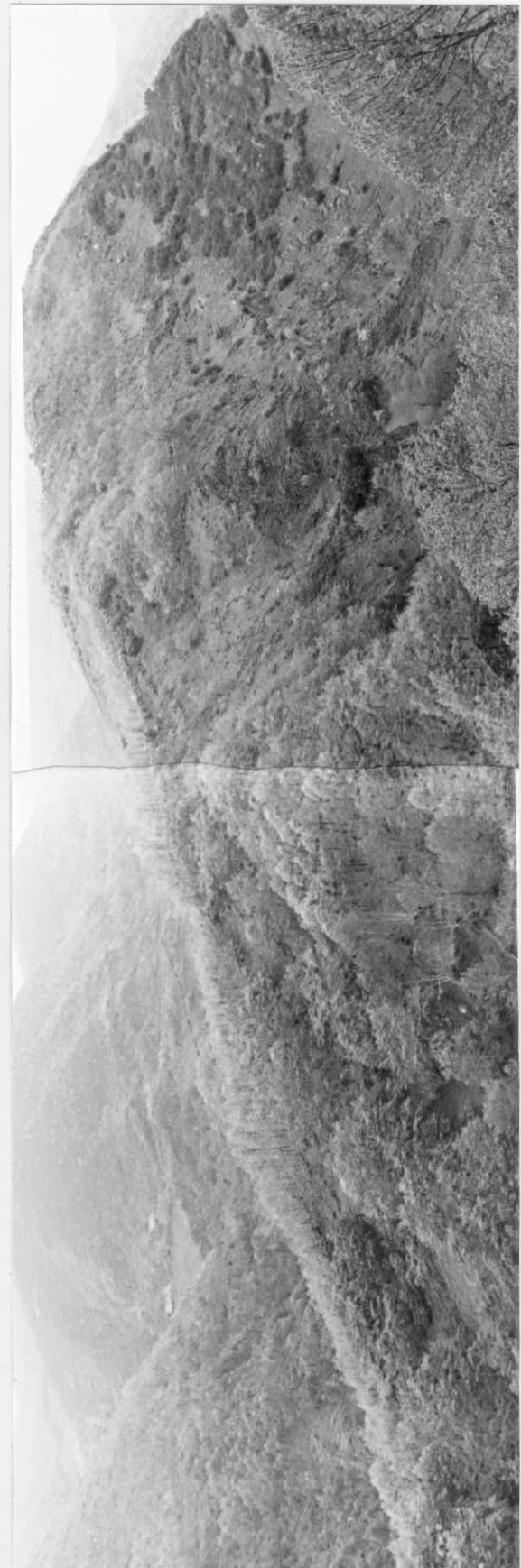


Calizas y calcosquistos de Cándana Estación 366 (B63H).



Calizas y calcosquistos de Cándana Estación 366 (B63H).

Panorámica de la zona de La Braña hacia el E. Estación 369 (B63H).





Crestas calizo-dolomíticas del Ashgill. N. de Eulego. Estación 87. (B60H).

20157

Sto. Tirso de Cabarcos. Serie siluriana. Estación 94 (B60H).



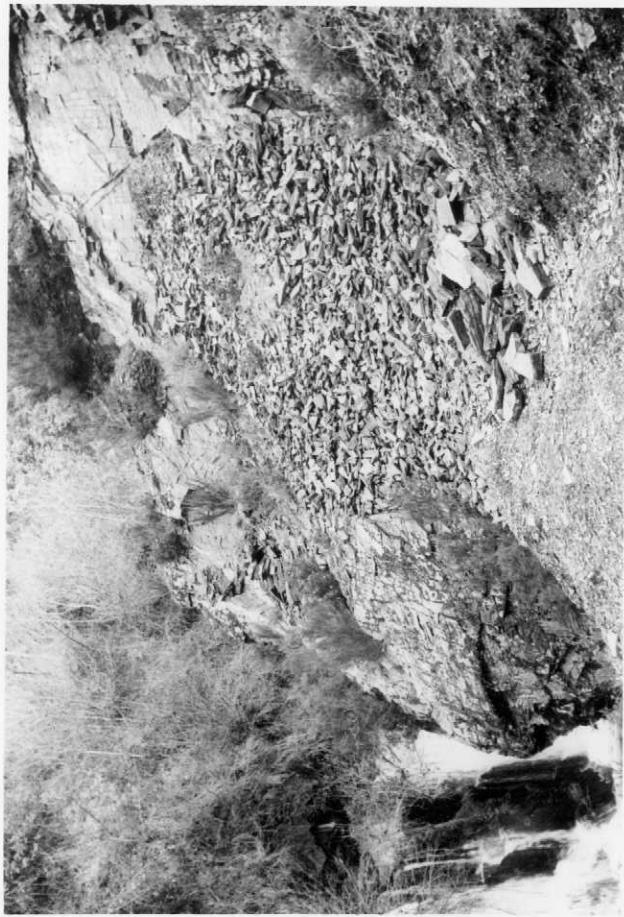


Cuarcita blanca del Cámbrico inferior. Estación 97 (B60H).

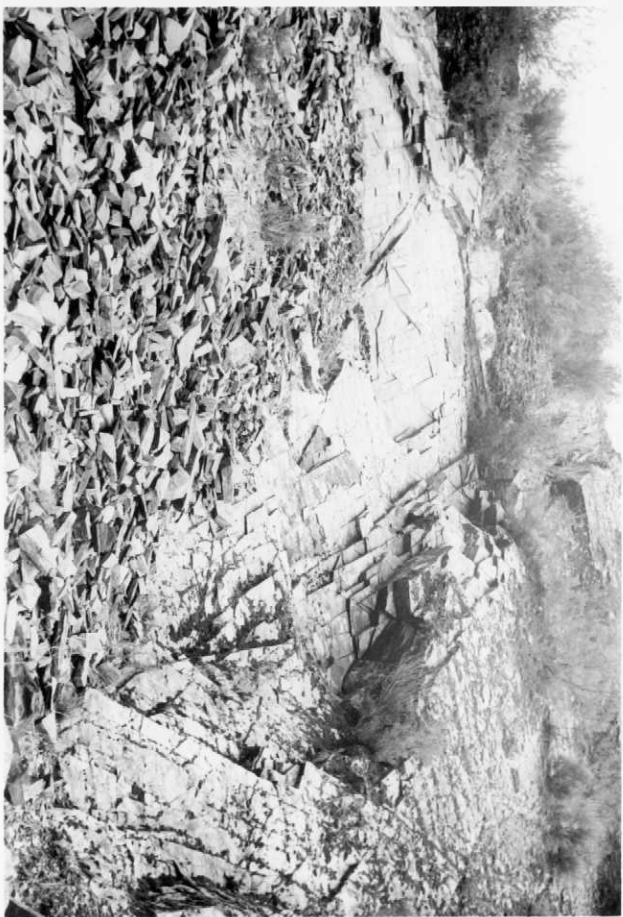
20157



Charnela en la Serie de la Cuarcita Armoricana de Otero. AH-10 (B58H).



Cruceros de fractura en las pizarras cámbicas al w de Oencia. Estación AH-117 (B60H).



Cruceros de fractura en las pizarras cámbicas al w de Oencia. Estación AH-117 (B60H).



Cantera abierta en la cuarcita armoricana Estación AH-11 (B58H).



Panorámica de Leiroso-Villarrubin. Series Ordovicico y Silúrico.
Estación AH-124 (B60H).

20157

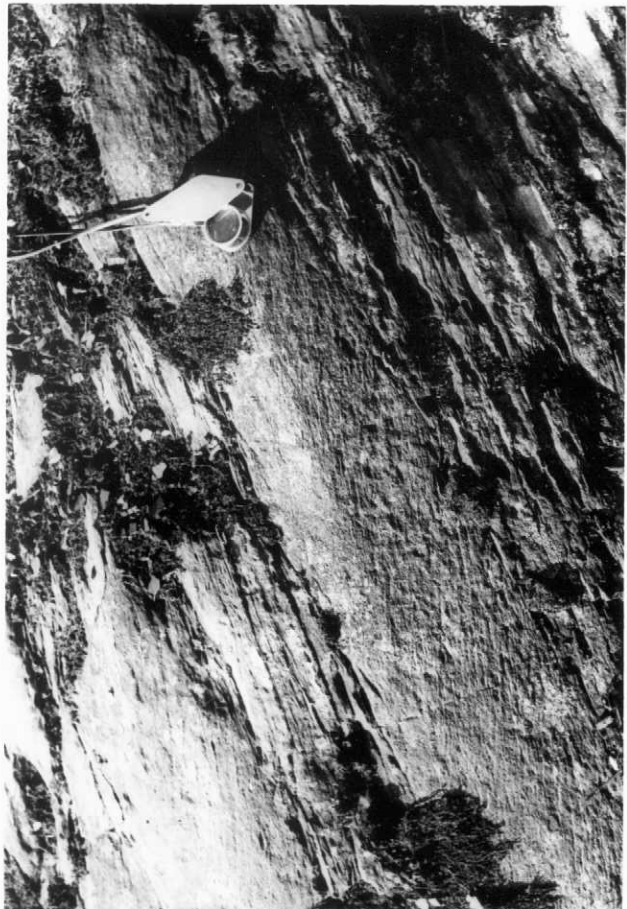
Panorámica del Siluriano de La Seara. Estación 162 (B60H).



Valle de Villarbacin. Al fondo escombreras de las antiguas minas de antimonio AH-12 (B58H).

Piegues de F1
AH-156 (B60H).





Criterios de flanco inverso.
AH-157 (B60H).



Repliegues de la Cuarcita Armoricana, cerca de Villarbacin. Estación AH-16 (B58H).



Cuarcita Armoricana. AH-19 (B59H).

Dehesa del Ciervo. Sinclinal acostado. Pliegues del Caurel en la Serie de la Cuarcita Armoricana. AH-16 (B59H).

20157

Desgarres en las series del
Cámbrico y Precámbrico de
Oencia- Seo AH-184 (B60H).





Valle del Aº de Montouto. Otro aspecto del sinclinal acostado del Caurel. Serie de la Cuarcita Armoricana. AH-19 (B59H).



Panorámica al Sur de Arnado. Pliegues cilíndricos en la Serie de la Cuarcita Armoricana.
y de los Cabos. AH-216.



Pliegues de fase 1 en la Serie de la Cuarcita Armoricana al Sur de Arnado AH-217.



Aspecto de la estructura de la Serie de la Cuarcita Armoricana. AH-218.



Serie de Los Cabos. Sector de Oencia-Arnado. Estación AH-219 (RN).

20157



Aspecto panorámico de la “Serie de los Cabos”. Zona de Oencia Arnado. Estación AH-220 (RN).



Panorámica de las canteras de pizarra de Peñasrubias-Pico Pájaro, Estación AH-223.



Sinclinal tumbado. Pliegues del
Caurel. Cuarcita Armoricana.
AH-223 (B61H).

Pliegues métricos debidos a la fase 2 (retrovergente), en el flanco inverso de la serie Ordovicica de Pico-Pájaro. AH-223 (B61H).

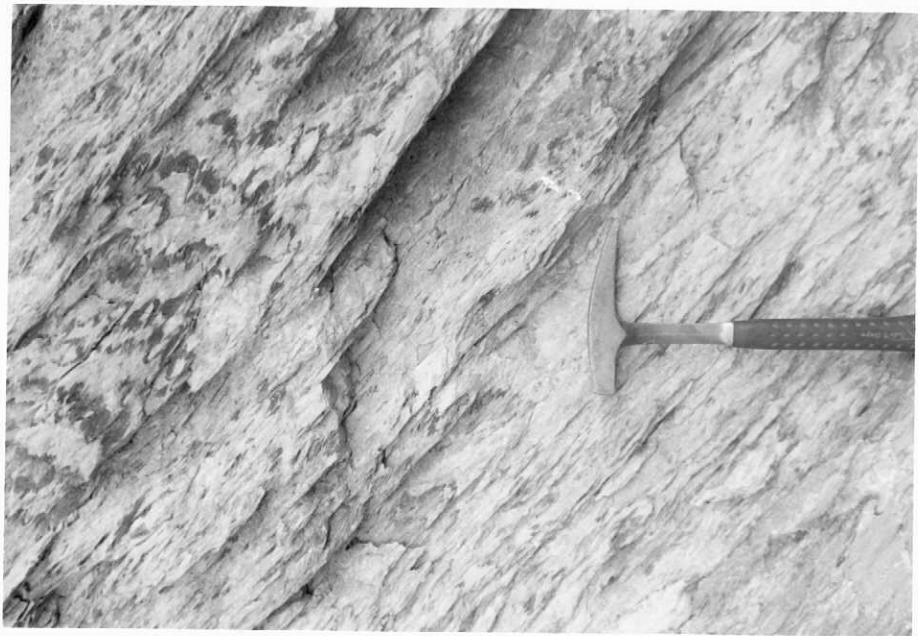




Esquistosidad de fractura de la fase 2 en los esquistos Ordovicicos de Pico-Pájaro. AH-223. (B61H).



Detalle de la S_2 en la serie Ordovicica de Pico-Pájaro. Estación AH-223 (B61H).



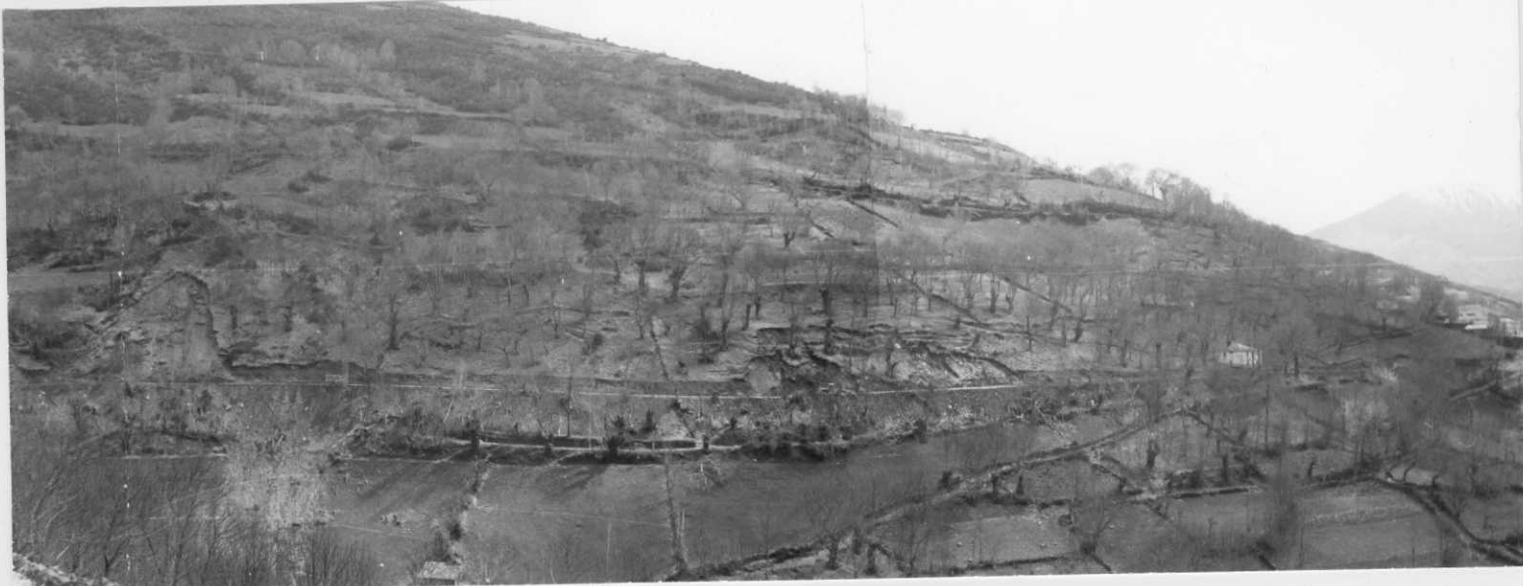
Repliegues en uno de los
tramos carbonatados de
la formación de Cándana.
Estación AH-246 (B61H).



Cantera de marmol en la caliza de la Serie de Vegadeo. Estación AH-250 (B61H).



Cantería en la caliza de Vegadeo. Cra. de Seoane. Estación AH-250 (B61H).

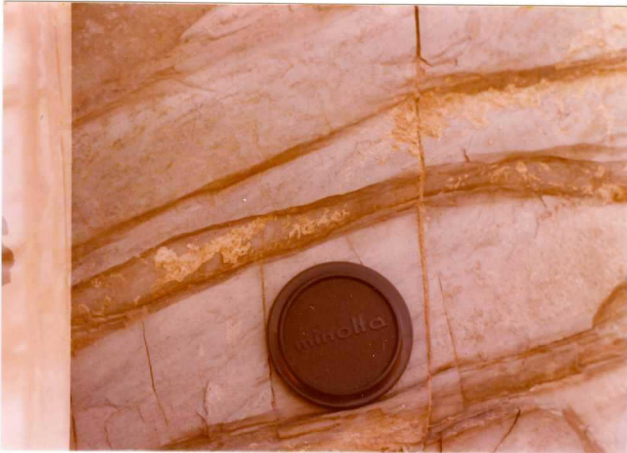


Formaciones coluviales deslizadas, en la carretera de Piñeiro a Meiraos. Estación AH-260 (B62H).



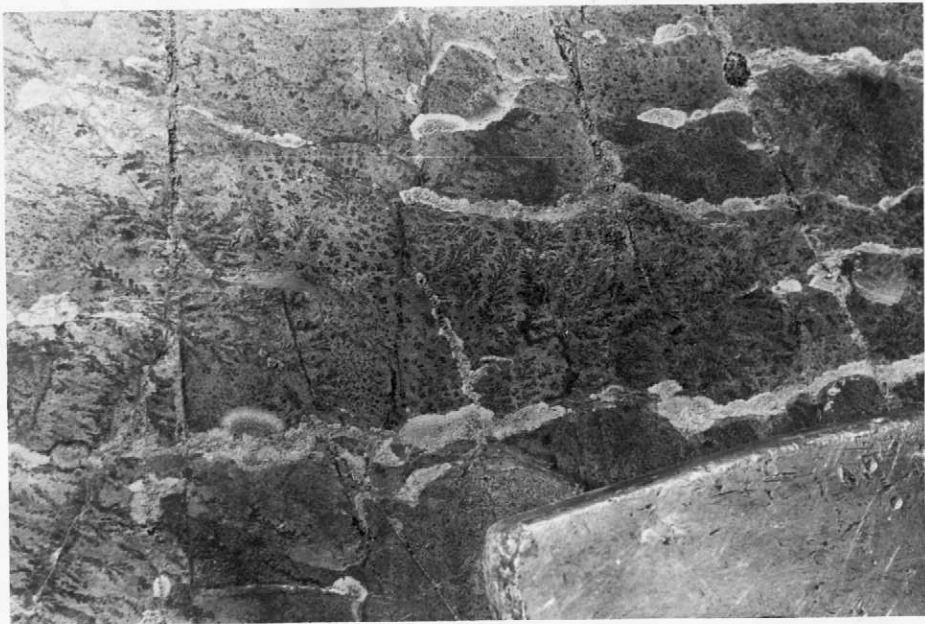
Pliegues tipo “kink” y “kincks” en la Serie cámbrica de La Barrosa AH-272.

Detalle de los “knicks” y pliegues tipo “kink” en los esquistas de la estación AH-272.





Kink-bands Estación AH-316 (B63H).



Dendritas de manganeso. Cuarcitas de Cándana. Estación AH-316 (B63H).



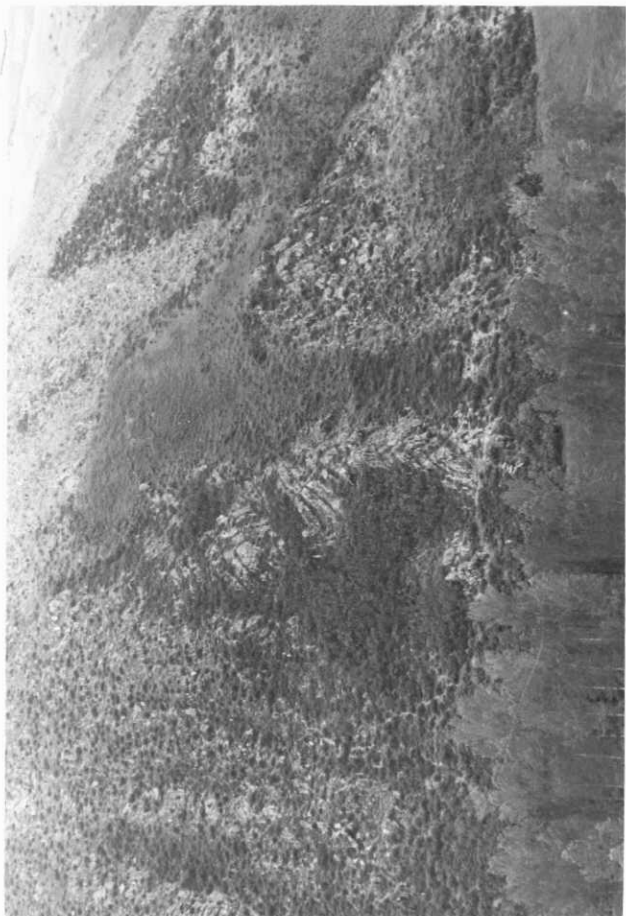
Pliegues de fase 1 de plano axial subvertical, retocados por la fase 2. AH-317 (B63H).



Alto de la Casa do Vello. Repliegues en la Serie de la C.A. AH-31 (B59H).

Aspecto panoramico
de las antiguas minas
de wolfram, de Seo.
Est. AH-321 (B63H).





Piegues de fase 1 Estación
AH-335 (B63H).



Repliegues de fase 1 en la Serie areniscosa de Cándana superior AH-337 (B63H).



Criterios de polaridad estructural.
Serie areniscosa de Cándana. AH-337 (B63H).

Detalle de los criterios de polaridad de la foto anterior AH-337 (B63H).





Dique vertical de diabasas cortando a S_0 y S_1 . Estación AH-33 (B59H).



Pliegue de Fase 1 en la Cuarrita de Cárdenas superior. AH-340 (B63H).



Disyunción irregular en algunas zonas de los diques de diabasas de Peñasrubias. Estación. AH-36.



Pliegue de Fase 1 en la Cuarcita de Cándana

Detalle de un pliegue de arrastre de flanco inverso. Serie de Cándana. AH-366 (B63H).



Repliegue de flanco inverso en la Serie de Cándana medio AH-368 (B63H).

Crenulación de la S_1 debidas a la F_2
en esta región. Estación AH-369
(B63H).





Crenulación de Fase 2. Serie Cámbrica. Estación AH-369 (B63H).



Panorámica de la Serie Cámbrica de la Pena del Rayo y Alto de Braña. Zona de falla (“descrochamiento”) a la izquierda al primer plano. Estación AH-369 (B64H).



Panorámica de la Serie Cámbrica desde S. Julián hacia el Alto de la Pena del Rayo y Villasinde. Estación AH-387 (B64H).

Panorámica de la Serie Cámbrica algo más al W de S. Julian, hacia la Pena del Rayo. Estación AH-387 (B64H).



Valle de Busmayor. Al fondo y a la izquierda las calizas de Cándana. A la derecha Cuarcitas de Cándana Superior.. Estación. AH-398 (B64H).





Panorámica de la Serie cámbrica en el sector de Corrales y Mosteiros. Estación AH-408 (B64H).



Repliegues de la esquistosidad S1
en la zona de Bajás AH-408 (B64H).



Repliegues en “chevrón” en los esquistos de Cándana. Cra. de Barjas. AH-408 (B64H).



Pliegues en las cuarcitas de Cándana superior, en las proximidades de Campo de Liebre. AH-409 (B64H).



Ondulación de la S1 por fases tardias, en los esquistos de la Serie de Cándana. AH-428 (B64H).



Pliegues métricos de la S1 debidos a fases tardías, en la Serie de Cándana. AH-428 (B64H).

Panorámica de los nuevos accesos a Galicia. Zona de Vega de Valcarce. Estación AH-429 (B64H).





Aspecto del valle de Valcarce. AH-429 (B66H).



Knicks y pliegues tipo kink en los esquistos cámbicos. AH-431.



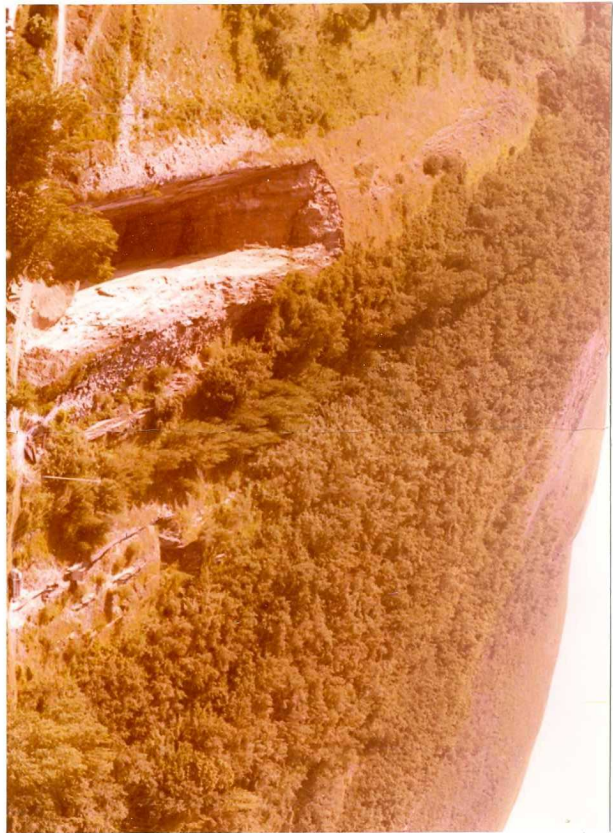
Panorámica de la Serie del Cámbrico en San Fiz de Seo. Estación AH-431 (B64H).



Fenómenos de “fonchage” en las pizarras de la “serie de Tránsito”. Ambas muestras. Estación AH-432.



Detalle de la crenulación de F2
que afecta a la serie calcosquistosa y
pizarrosoa de la Serie de Tránsito.
AH-432.



Cantera de caliza marmorea en Vega de Valcarce. Serie de Tránsito y formación "caliza de Vega-deo". Estación AH-432 (B66H).



Detalle de los kink de fase 2 en la Serie flyschoide de "Los Cabos". AH-434.



“kink” producidos por la F2 en la zona de Parada de Soto. AH-439.

Panorámica de la Serie Cámbrica desde el Alto de Cadafresnas–Viariz. Al fondo y en el centro crestones calizos de Sto. Tirso de Cabarcos (Caliza de La Aquiana). Estación AH-461 (B65H).



Panorámica mostrando pliegues de la cuarcita de Cándana superior, de F1, Zona de Villagroy-Cadafresnas AH-465 (B65H).





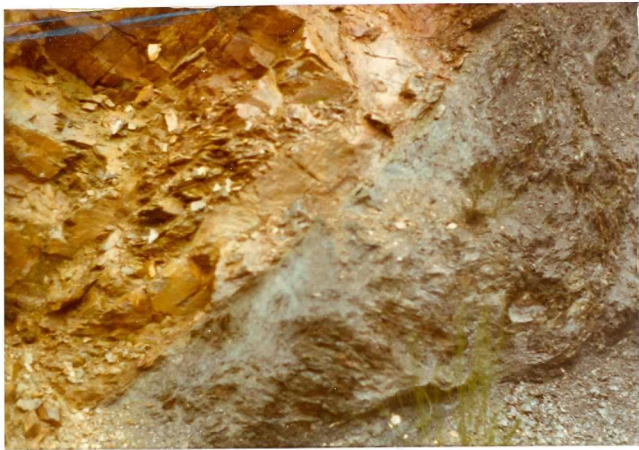
Panorámica tomada desde el Alto de Cadafresnas, hacia la montaña de Seo (Precámbrico) AH-462 (B65H).



Minas de antimonio de Villarbacin. Estación. AH-47 (B59H)



Aspecto de los calcosquistos y pizarras de la serie de Transito (Cámbrico inferior y medio) de Drafonte. Estación. AH-482.



Contacto entre las pizarras con cloritoide y las capas arenosas de la base del Silúrico. Estación AH-56 (B59H).



Serie de la Cuarrita Armoricana en flanco inverso. Besarredonda.
AH-5 (B58H).

20157



Aspecto del afloramiento siluriano de esquistos negros con cloritoide y "hard-ground"
Estación. AH-73 (B59H).



Pizarras con cloritoide, extraordinariamente hojas. Estación AH-73 (B59).



Detalle del "hard-ground" presiluriano. Estación AH-74 (B59H).



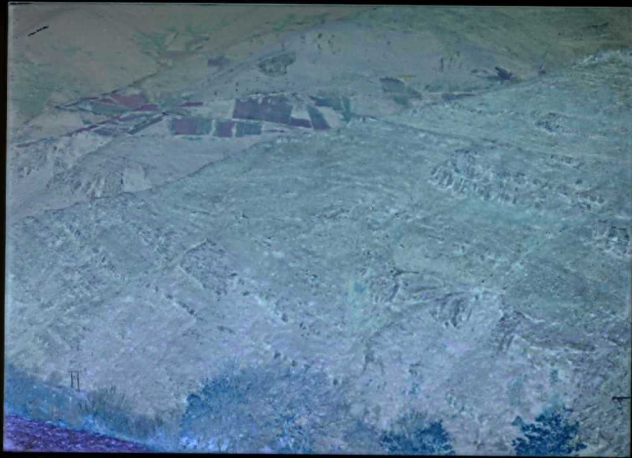
Detalle de la caliza de crinoides del Ashgill. Estación AH-75 (B59H).



Pizarras negras o azuladas con abundantes manchas de óxidos de Fe. Ordovicico de Ferramulín. Estación AH-76. (B59H).



Pliegues menores. Serie de la Cuarcita
Armoricana al NE de Besarredonda,
AH-8 (B58H).



Pliegues tumbados de F1 de eje horizontal. Ladera Sur de la Franza. AH-9 (B58H).